

宽带3—5 m 量子阱红外探测器的研制

李宏伟 李 卫 黄 纪 周均铭

(中国科学院物理研究所, 北京 100080)

摘要: 采用分子束外延方法在 GaAs 衬底上生长了 n 型掺杂的应变 InGaAs/AlGaAs 多量子阱结构, 制作成3—5μm 波段的量子阱红外探测器, 响应峰值波长 $\lambda_p = 4.2\mu\text{m}$, 响应带宽可达 $\Delta\lambda/\lambda = 50\%$, 500K 黑体探测率 $D_{\text{BB}}^*(500, 1000, 1)$ 达 $1.7 \times 10^{10} \text{ cm} \cdot \text{Hz}^{1/2}/\text{W}$.

关键词: 量子阱红外探测器; 探测率; InGaAs/AlGaAs

PACC: 7240; 0762; 7320; 7830

中图分类号: TN215 **文献标识码:** A **文章编号:** 0253-4177(2000)12-1220-04

Development of Broadband 3—5 m Quantum Well Infrared Photodetectors

LI Hong-wei, LI Wei, HUANG Qi and ZHOU Jun-ming

(Institute of Physics, The Chinese Academy of Sciences, Beijing 100080, China)

Received 10 September 1999, revised manuscript received 10 January 2000

Abstract: Broadband 3—5μm quantum well infrared photodetectors have been successfully grown by molecular beam epitaxy. High-quality strained InGaAs/AlGaAs multi-quantum wells with Si doping were acquired on GaAs substrate. The peak response λ_p is of $4.2\mu\text{m}$ and the response bandwidth $\Delta\lambda/\lambda$ to be 50%. The 500K blackbody detectivity $D_{\text{BB}}^*(500, 1000, 1)$ of the detector can reach $1.7 \times 10^{10} \text{ cm} \cdot \text{Hz}^{1/2}/\text{W}$.

Key words: quantum well infrared photodetector; detectivity; InGaAs/AlGaAs

PACC: 7240; 0762; 7320; 7830

Article ID: 0253-4177(2000)12-1220-04

1 引言

几十年来, 在红外探测器领域, HgCdTe 材料一直是人们研究的主要对象, 但目前仍存在许多困难, 如

LI Hong-wei was born in 1976. Now he works for his Ph. D degree, whose research interests include semiconductor MBE growth, material and device properties. E-mail: hw-li@263.net
1999-09-10收到, 2000-01-10定稿

大面积均匀性差、表面和界面不稳定、重复性低、成本高等。而在近十年来发展起来的量子阱红外探测器与之相比,具有明显的优势^[1]。主要在于用于量子阱红外探测器的III-V族半导体具有成熟的外延生长技术和器件制造工艺,不仅可以克服HgCdTe的上述缺点,而且波长易于调节,可同时把实现3—5μm和8—12μm探测的材料生长在一起,实现双色红外探测^[2]。在3—5μm波段范围实现的量子阱红外探测器已见诸报道^[3,4],在GaAs/AlGaAs体系上实现的量子阱红外探测器因要采用的Al组分极高^[3],外延材料质量下降,对器件性能影响很大。另外,在以前的报道中,因结构设计等方面的问题,响应带宽都很小,不能有效覆盖3—5μm的整个波段范围。在这里,我们报道GaAs衬底上生长的In_yGa_{1-y}As/Al_xGa_{1-x}As体系的高均匀度量子阱红外探测器,用于3—5μm红外探测。经过精心设计,控制合适的Al和In组分,我们生长了高质量的量子阱红外探测器材料,500K黑体探测率达 $1.7 \times 10^{10} \text{ cm} \cdot \text{Hz}^{1/2}/\text{W}$ 。同时,响应带宽很宽,达1.9μm,能基本覆盖3—5μm波段范围。若在此结构上,再同时生长探测波长8—12μm范围的GaAs/AlGaAs多量子阱,就可实现全波段红外探测。

2 原理及设计

量子阱红外探测器是利用半导体导带(价带)量子阱中子带间的红外吸收跃迁的原理制成的,当入射红外光子能量刚好等于量子阱中两个子能级间(基态和第一激发态)的能量差时,基态上的电子就可以吸收光子,跃迁到第一激发态,并在外电场作用下做垂直量子阱方向的运动,形成光电流。根据有效质量近似,其跃迁矩阵元与入射光电场矢量方向有关^[5],只有当入射光具有与量子阱平面方向垂直的电场分量时,跃迁才会发生。这是因为在有效质量近似下, $\alpha \propto \cos^2 \phi$ 其中 α 为光吸收系数, ϕ 为入射光电场矢量与量子阱平面的夹角。垂直入射时, $\cos \phi = 0$, 无光吸收,所以量子阱红外探测器多采用斜入射或光栅耦合方式。

要实现双色红外探测,探测范围必须覆盖3—5μm和8—12μm两个大气窗口。对8—12μm来说,GaAs/AlGaAs体系的量子阱红外探测器刚好落在这个范围内。GaAs/AlGaAs体系失配极小,材料生长及器件工艺都很成熟,实现起来比较容易。但对3—5μm波段来说,这个体系不合适,因为过高的Al组分在生长时会引入较多的DX中心,大大降低了材料的性能。为了实现对3—5μm波段的探测,同时又便于与GaAs/Al-GaAs体系集成,我们仍采用了GaAs衬底上以GaAs/AlGaAs为主体的结构,把GaAs量子阱部分的禁带宽度更窄的In_yGa_{1-y}As材料代替。适当调节In组分及In_yGa_{1-y}As层厚度,把应变控制在一定范围内。这样,就可以实现3—5μm红外光的探测,同时又可以保证较好的材料生长质量及探测器性能。

设计的3—5μm探测器的基本结构如图1所示,势垒为450nm的Al_xGa_{1-x}As, Al组分 $x = 0.38$ 。势阱为多层结构,中间是2.5nm的In_yGa_{1-y}As, In组分 $y = 0.35$, In_yGa_{1-y}As层的两边各是大约0.7nm的GaAs层,其中In_yGa_{1-y}As层为重掺杂层。

3 材料生长与器件制作

材料是用分子束外延(MBE)方法在英V80H型分子束外延设备上生长的,采用GaAs(100)向(111)A面偏4°的衬底,先生长1μm厚的Si掺杂GaAs层作下电极,然后是探测器Al_xGa_{1-x}As/GaAs/In_yGa_{1-y}As/GaAs多量子阱结构,共生长30个周期,再盖一层450nm厚的Al_xGa_{1-x}As势垒,最后是0.5μm厚的Si掺杂GaAs上电极,电极层掺杂浓度为 $1.0 \times 10^{18} \text{ cm}^{-3}$,势阱中的In_yGa_{1-y}As为重掺杂层,掺杂浓度为 $6.0 \times 10^{18} \text{ cm}^{-3}$ 。在MBE生长过程中,Al_xGa_{1-x}As和In_yGa_{1-y}As所要求的衬底温度相差较大($\sim 100^\circ\text{C}$),为了获得晶体质量较好的材料,在分子束外延生长

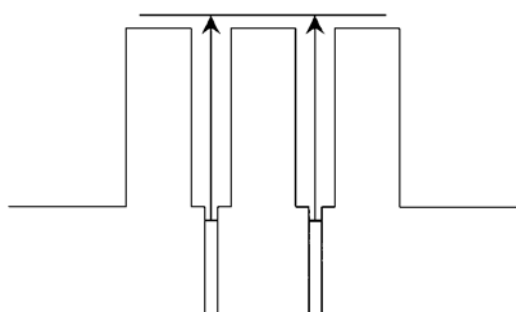


图1 QWIP 结构示意图

FIG. 1 Schematic Diagram of QWIP Structure

中, 我们采用了中断变温的方法, 中断生长时改变衬底温度, 使 $\text{Al}_{x}\text{Ga}_{1-x}\text{As}$ 和 $\text{In}_y\text{Ga}_{1-y}\text{As}$ 分别在其最佳生长温度下生长, 这样可保证 $\text{Al}_{x}\text{Ga}_{1-x}\text{As}$ 势垒和 $\text{In}_y\text{Ga}_{1-y}\text{As}$ 势阱都具有较好的质量及性能。

在生长过程中, 中断会使界面吸附一些杂质, 适当控制中断时间是非常重要的。因为量子阱区厚度很小, 生长时间短, 如果中断时间过短或不采用中断, 在衬底温度降低到适合生长 $\text{In}_y\text{Ga}_{1-y}\text{As}$ 之前, 整个量子阱区已生长完毕。对 $\text{Al}_{x}\text{Ga}_{1-x}\text{As}$ 势垒区来说若存在过厚的低温生长层, 也会引入较多深能级降低材料质量性能。适当的中断时间既能达到升降衬底温度的要求, 又不会引入过多的杂质缺陷。在实验中采用的中断时间为30—40s。对没有采用中断的样品, 整个生长过程衬底温度一直保持不变, 最后我们的测量结果表明探测器的响应率和探测率都比较差, 这是因为阱区和垒区都没有在最佳生长温度下生长, 质量较差。

在生长过程中 In 组分的控制与调节是生长出波长范围合适, 晶体质量好的材料的关键。In 组分过低, 波长很难达到3—5μm 范围, 这样要求采用高 Al 组分的势垒层, 但 Al 组分太高对生长不利, 容易引入较多 DX 中心。In 组分很高时, 应变较大, 容易产生失配位错, 影响材料光电性能。且高 In 组分下, 量子阱宽度较小, 使生长时厚度控制相对误差较大, 波长容易偏离。在实验中, $\text{In}_y\text{Ga}_{1-y}\text{As}$ 层中 In 的组分为 0.35, $\text{In}_y\text{Ga}_{1-y}\text{As}$ 层的厚度为 2.4nm。

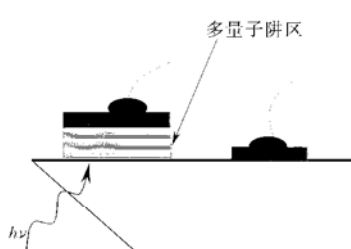


图2 器件单元结构示意图

FIG. 2 Schematic Diagram of Device Cell Structure

我们生长的结构中, $\text{In}_y\text{Ga}_{1-y}\text{As}$ 为重掺杂层, 掺杂浓度达 $6.0 \times 10^{18} \text{ cm}^{-3}$ 。这是因为在可实现3—5μm 范围光探测的量子阱结构中, 量子阱深度较大, 处在量子阱中基态的电子热激发跳出阱外的几率较小。在这种情况下, 可适当提高 Si 掺杂浓度, 增加基态电子数以提高光响应而不会对暗电流噪声产生影响。同时, 适当的 Si 掺杂可调节器件的电阻特性, 使之与外读出电路相匹配。材料生长完成后, 用光刻-湿法腐蚀刻出 $350\mu\text{m} \times 350\mu\text{m}$ 光响应台面, 上下电极层同时光刻蒸发 AuGeNi/Au, 去胶后合金退火, 做欧姆接触电极。采用45°斜入射方式, 台面附近侧面磨45°角并抛光, 最后压焊电极(图2), 装入杜瓦瓶就可以测试了。

4 结果分析

为了确保探测器材料质量, 我们对生长的材料做了光致发光和 X 射线的测试。光致发光谱有较强的积分强度, 显示了我们的材料有较好的光学性能。X 射线摇摆曲线有较多的卫星峰, 见图3(可达14级), 线宽较小($\sim 30''$), 所有这些反映了: 1) 材料晶体质量好, 应变控制适当, 没有出现大量位错; 2) 30个周期多层次阱结构的重复性好, 生长条件稳定。

我们对器件在液氮温度下做了红外响应 R 的测试, 测试条件为: 黑体温度 $T_b = 500\text{K}$, 探测器温度 $T = 80\text{K}$, 调制频率为 $f = 1000\text{Hz}$, 调制带宽为 $\Delta f = 1\text{Hz}$ 。图4给出了样品在500K 下的黑体响应率 $R(500)$ 随外偏压 V 变化的响应曲线, 可看出探测器的最佳响应偏压为 $V_b = 4.53\text{V}$, 曲线在正负偏压下的增长规律不同, 主要是由于生长过程中存在 In 表面偏析, 使由垒区到阱区和由阱区到垒区的界面处 In 组分不同, 势阱两边的势垒高度有差异, 造成电子易于向一个方向运动。

图5给出了样品在一定偏压下的波长 λ 响应曲线 $R(\lambda)$, 峰值响应波长 $\lambda_p = 4.2\mu\text{m}$, 截止波长 $\lambda_c =$

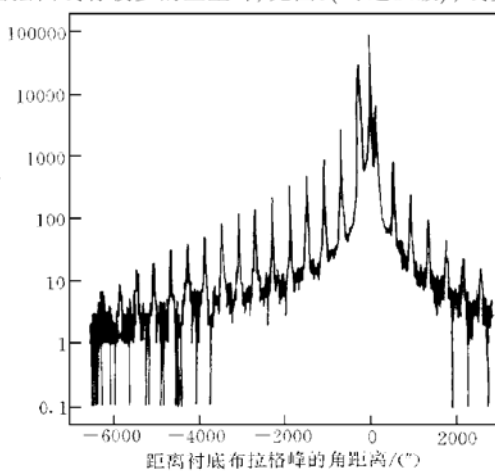


图3 QWIP 样品的 X 射线摇摆曲线

FIG. 3 XRD Curve of QWIP Sample

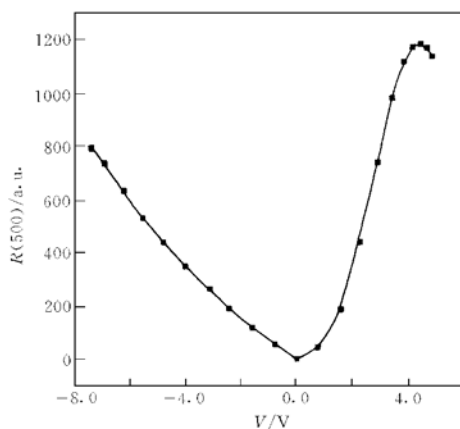


图4 探测器500K 黑体下的电压响应曲线

FIG. 4 500K Blackbody Voltage Dependence of Responsivity for QWIP

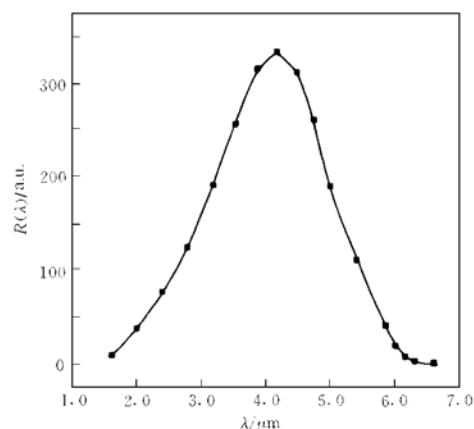


图5 探测器波长响应曲线

FIG. 5 Experiment QWIP Responsivity Spectrum Versus Wavelength

3.1 μm, 响应线宽较宽 $\Delta\lambda/\lambda = 50\%$. 这说明第二个子带已落在阱口附近的连续区, 这与我们的设计十分符合.

在500K 黑体响应的测试中, 暗电流噪声很小, 器件信噪比可达 2.8×10^4 , 最后器件的500K 黑体探测器 $D_{BB}^*(500, 1000, 1)$ 可达 $1.7 \times 10^{10} \text{ cm} \cdot \text{Hz}^{1/2}/\text{W}$, 这一结果完全达到了国际同类器件水平^[6], 其比较见表1.

表1 我们的器件与国际同类器件结果比较

Table 1 Results of Our Device and Similar Structure of Other Groups

	Ours Group	Cui Liqiu et al. ^[3]	Tidrow et al. ^[6]
$\lambda_p/\mu\text{m}$	4.2	5.3	4.3
$\Delta\lambda/\mu\text{m}$	2.1	—	0.8
耦合方式	45°入射	45°入射	45°入射
$D_{BB}^*/(\text{cm} \cdot \text{Hz}^{1/2}/\text{W})$	1.76×10^{10}	3.1×10^9	—
$D_{\lambda_p}^*/(\text{cm} \cdot \text{Hz}^{1/2}/\text{W})$	—	5×10^{11}	1.4×10^{11}

5 结语

我们成功研制了 GaAs 衬底上的 3—5μm 多量子阱红外探测器, 500K 黑体探测率达 $1.7 \times 10^{10} \text{ cm} \cdot \text{Hz}^{1/2}/\text{W}$, 这一结果与国外类似器件相当^[3,6]. 在此基础上, 加上我们实验室已成熟的8—12μm GaAs/AlGaAs 量子阱红外探测器^[7,8], 为进一步研制双色量子阱红外探测器打下了基础.

参 考 文 献

- [1] A. Rogalski, Infrared Physics & Technology, 1997, **38**: 295.
- [2] Y. H. Wang, Jung-chi Chiang and Sheng S. Li, J. Appl. Phys., 1994, **76** (4): 2538.
- [3] 崔丽秋, 江德生, 张耀辉, 等, 半导体学报, 1997, **18**(8), 229—234[CUI Liqiu, JIANG Desheng, ZHANG Yaohui et al., Chinese Journal of Semiconductors, 1997, **18**(8), 229—234(in Chinese)].
- [4] 吴文刚, 常凯, 江德生, 李月霞, 郑厚植, 半导体学报, 1998, **19**(3): 229—234[WU Wengang, CHANG Kai, JIANG Desheng, LI Yuexia and ZHENG Houzhi, Chinese Journal of Semiconductors, 1998, **19**(3): 573—580 (in Chinese)].
- [5] B. F. Levine, J. Appl. Phys., 1993, **74** (8): R1.
- [6] M. Z. Tidrow et al., Appl. Phys. Lett., 1997, **70** (7), 859.
- [7] W. X. Wang, Q. Hu, Q. Huang, J. M. Zhou, D. F. Cui and Z. H. Chen, Acta Physica Sinica – Overseas Edition, 1995, **4** (11): 806—809.
- [8] G. L. Luo, Q. Huang and J. M. Zhou, Thin Solid Films, 1998, **312** (1—2): 265—267.